

Eingabe: Farbmétrisches Offset-Reflektiv-System ORS18a

für Buntton  $h^* = lab^*h = 38/360 = 0.105$

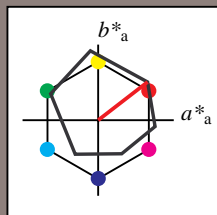
$lab^*tch$  und  $lab^*nch$

D65: Buntton O

LCH\*Ma: 48 83 38

olv\*Ma: 1.0 0.0 0.0

Dreiecks-Helligkeit  $t^*$



ORS18a; adaptierte CIELAB-Daten

	$L^*=L^*_a$	$a^*_a$	$b^*_a$	$C^*_{ab,a}$	$h^*_{ab,a}$
O <sub>Ma</sub>	47.94	65.39	50.52	82.63	38
Y <sub>Ma</sub>	90.37	-10.26	91.75	92.32	96
L <sub>Ma</sub>	50.9	-62.83	34.96	71.91	151
C <sub>Ma</sub>	58.62	-30.34	-45.01	54.3	236
V <sub>Ma</sub>	25.72	31.1	-44.4	54.22	305
M <sub>Ma</sub>	48.13	75.28	-8.36	75.74	354
N <sub>Ma</sub>	18.01	0.0	0.0	0.0	0
W <sub>Ma</sub>	95.41	0.0	0.0	0.0	0
RCIE	39.92	58.66	26.98	64.57	25
JCIE	81.26	-2.16	67.76	67.79	92
GCIE	52.23	-42.25	11.76	43.87	164
BCIE	30.57	1.15	-46.84	46.86	271

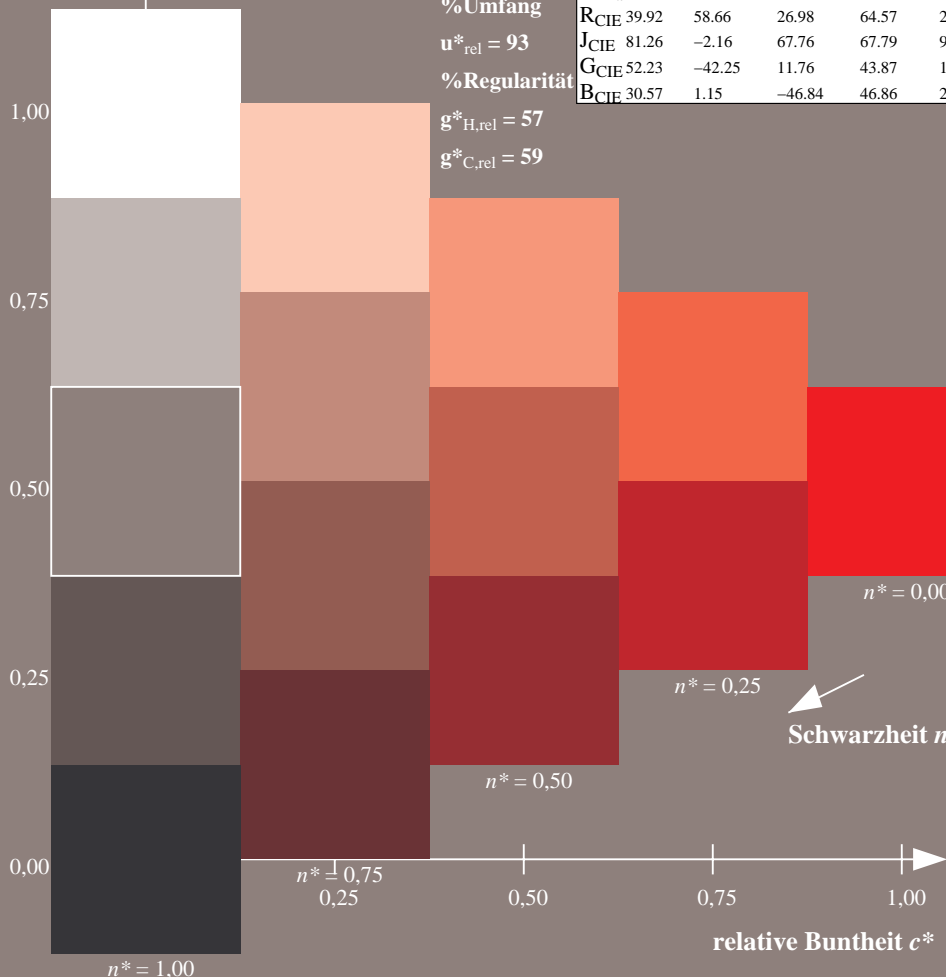
%Umfang

$u^*_{rel} = 93$

%Regularität

$g^*_{H,rel} = 57$

$g^*_{C,rel} = 59$



XG800-7N, 5stufige Reihen für konstanten CIELAB Buntton 38/360 = 0.105 (links)

Ausgabe: Farbmétrisches Offset-Reflektiv-System ORS18a

für Buntton  $h^* = lab^*h = 38/360 = 0.105$

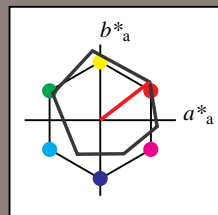
$lab^*tch$  und  $lab^*nch$

D65: Buntton O

LCH\*Ma: 48 83 38

olv\*Ma: 1.0 0.0 0.0

Dreiecks-Helligkeit  $t^*$



ORS18a; adaptierte CIELAB-Daten

	$L^*=L^*_a$	$a^*_a$	$b^*_a$	$C^*_{ab,a}$	$h^*_{ab,a}$
O <sub>Ma</sub>	47.94	65.39	50.52	82.63	38
Y <sub>Ma</sub>	90.37	-10.26	91.75	92.32	96
L <sub>Ma</sub>	50.9	-62.83	34.96	71.91	151
C <sub>Ma</sub>	58.62	-30.34	-45.01	54.3	236
V <sub>Ma</sub>	25.72	31.1	-44.4	54.22	305
M <sub>Ma</sub>	48.13	75.28	-8.36	75.74	354
N <sub>Ma</sub>	18.01	0.0	0.0	0.0	0
W <sub>Ma</sub>	95.41	0.0	0.0	0.0	0
RCIE	39.92	58.66	26.98	64.57	25
JCIE	81.26	-2.16	67.76	67.79	92
GCIE	52.23	-42.25	11.76	43.87	164
BCIE	30.57	1.15	-46.84	46.86	271

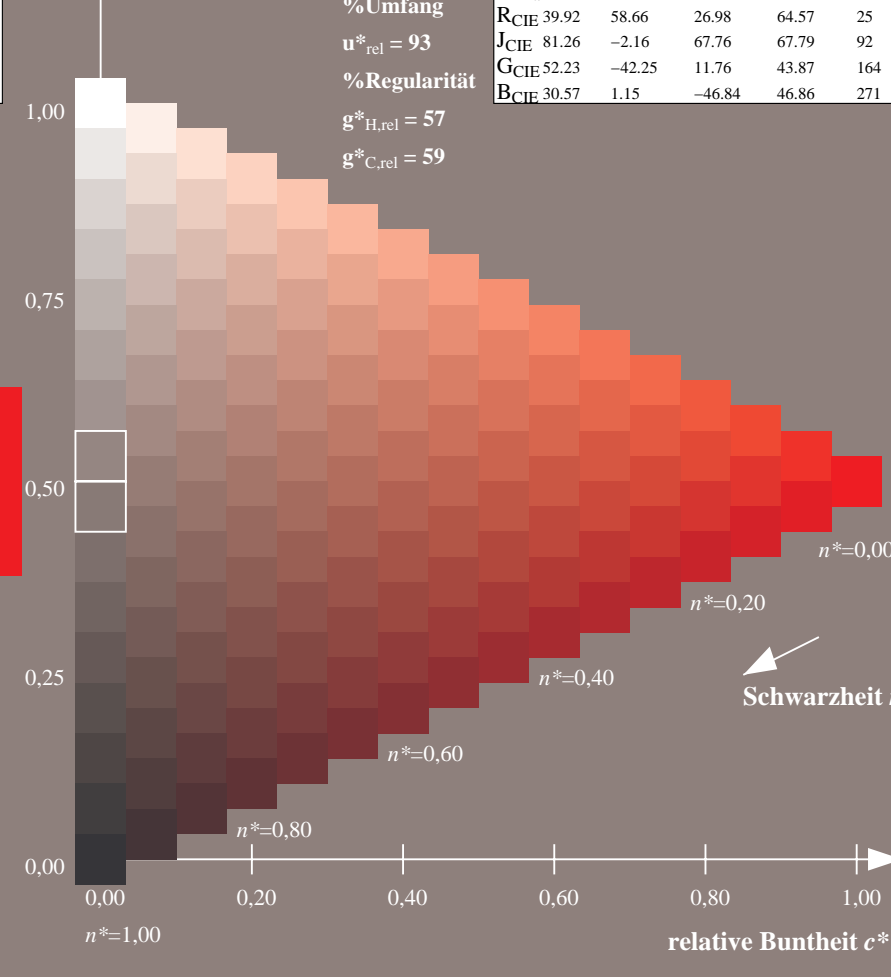
%Umfang

$u^*_{rel} = 93$

%Regularität

$g^*_{H,rel} = 57$

$g^*_{C,rel} = 59$



16stufige Reihen für konstanten CIELAB Buntton 38/360 = 0.105 (rechts)

Eingabe: Farbmetrisches Offset-Reflektiv-System ORS18a

für Buntton  $h^* = lab^*h = 96/360 = 0.268$

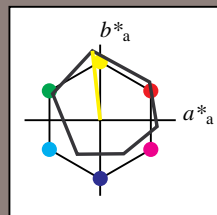
$lab^*tch$  und  $lab^*nch$

D65: Buntton Y

LCH\*Ma: 90 92 96

olv\*Ma: 1.0 1.0 0.0

Dreiecks-Helligkeit  $t^*$



ORS18a; adaptierte CIELAB-Daten

	$L^*=L^*_a$	$a^*_a$	$b^*_a$	$C^*_{ab,a}$	$h^*_{ab,a}$
O <sub>Ma</sub>	47.94	65.39	50.52	82.63	38
Y <sub>Ma</sub>	90.37	-10.26	91.75	92.32	96
L <sub>Ma</sub>	50.9	-62.83	34.96	71.91	151
C <sub>Ma</sub>	58.62	-30.34	-45.01	54.3	236
V <sub>Ma</sub>	25.72	31.1	-44.4	54.22	305
M <sub>Ma</sub>	48.13	75.28	-8.36	75.74	354
N <sub>Ma</sub>	18.01	0.0	0.0	0.0	0
W <sub>Ma</sub>	95.41	0.0	0.0	0.0	0
RCIE	39.92	58.66	26.98	64.57	25
JCIE	81.26	-2.16	67.76	67.79	92
GCIE	52.23	-42.25	11.76	43.87	164
BCIE	30.57	1.15	-46.84	46.86	271

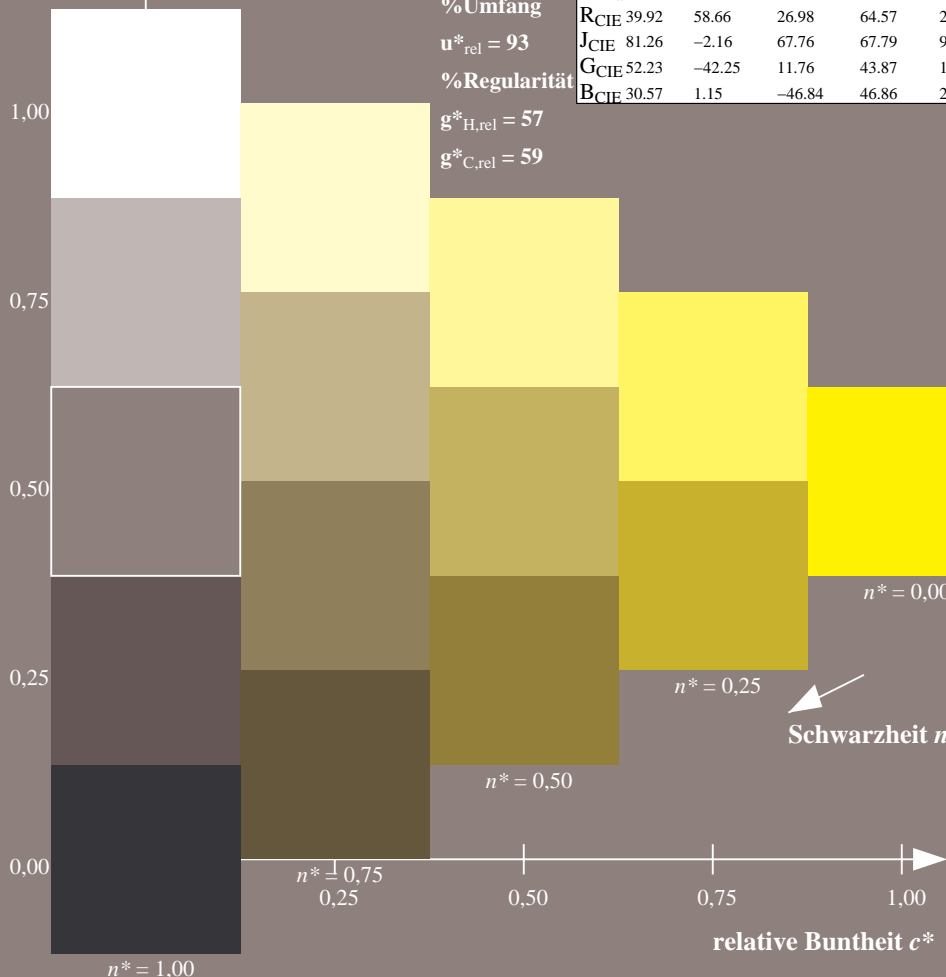
%Umfang

$u^*_{rel} = 93$

%Regularität

$g^*_{H,rel} = 57$

$g^*_{C,rel} = 59$



XG800-7N, 5stufige Reihen für konstanten CIELAB Buntton 96/360 = 0.268 (links)

Ausgabe: Farbmetrisches Offset-Reflektiv-System ORS18a

für Buntton  $h^* = lab^*h = 96/360 = 0.268$

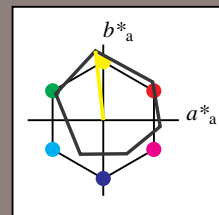
$lab^*tch$  und  $lab^*nch$

D65: Buntton Y

LCH\*Ma: 90 92 96

olv\*Ma: 1.0 1.0 0.0

Dreiecks-Helligkeit  $t^*$



ORS18a; adaptierte CIELAB-Daten

	$L^*=L^*_a$	$a^*_a$	$b^*_a$	$C^*_{ab,a}$	$h^*_{ab,a}$
O <sub>Ma</sub>	47.94	65.39	50.52	82.63	38
Y <sub>Ma</sub>	90.37	-10.26	91.75	92.32	96
L <sub>Ma</sub>	50.9	-62.83	34.96	71.91	151
C <sub>Ma</sub>	58.62	-30.34	-45.01	54.3	236
V <sub>Ma</sub>	25.72	31.1	-44.4	54.22	305
M <sub>Ma</sub>	48.13	75.28	-8.36	75.74	354
N <sub>Ma</sub>	18.01	0.0	0.0	0.0	0
W <sub>Ma</sub>	95.41	0.0	0.0	0.0	0
RCIE	39.92	58.66	26.98	64.57	25
JCIE	81.26	-2.16	67.76	67.79	92
GCIE	52.23	-42.25	11.76	43.87	164
BCIE	30.57	1.15	-46.84	46.86	271

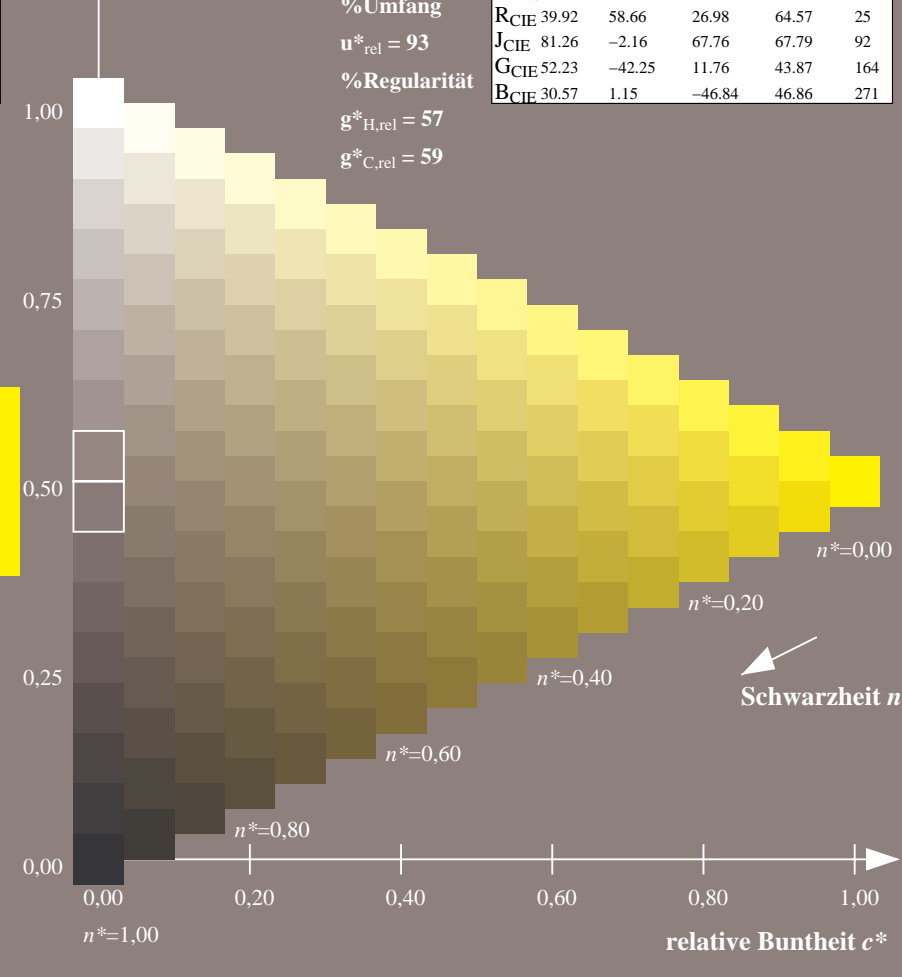
%Umfang

$u^*_{rel} = 93$

%Regularität

$g^*_{H,rel} = 57$

$g^*_{C,rel} = 59$



16stufige Reihen für konstanten CIELAB Buntton 96/360 = 0.268 (rechts)

Eingabe: Farbmetrisches Offset-Reflektiv-System ORS18a

für Buntton  $h^* = lab^*h = 151/360 = 0.419$

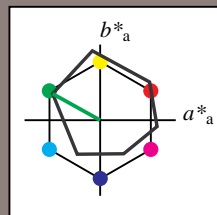
$lab^*tch$  und  $lab^*nch$

D65: Buntton L

LCH\*Ma: 51 72 151

olv\*Ma: 0.0 1.0 0.0

Dreiecks-Helligkeit  $t^*$



ORS18a; adaptierte CIELAB-Daten

	$L^*=L^*_a$	$a^*_a$	$b^*_a$	$C^*_{ab,a}$	$h^*_{ab,a}$
O <sub>Ma</sub>	47.94	65.39	50.52	82.63	38
Y <sub>Ma</sub>	90.37	-10.26	91.75	92.32	96
L <sub>Ma</sub>	50.9	-62.83	34.96	71.91	151
C <sub>Ma</sub>	58.62	-30.34	-45.01	54.3	236
V <sub>Ma</sub>	25.72	31.1	-44.4	54.22	305
M <sub>Ma</sub>	48.13	75.28	-8.36	75.74	354
N <sub>Ma</sub>	18.01	0.0	0.0	0.0	0
W <sub>Ma</sub>	95.41	0.0	0.0	0.0	0
RCIE	39.92	58.66	26.98	64.57	25
JCIE	81.26	-2.16	67.76	67.79	92
GCIE	52.23	-42.25	11.76	43.87	164
BCIE	30.57	1.15	-46.84	46.86	271

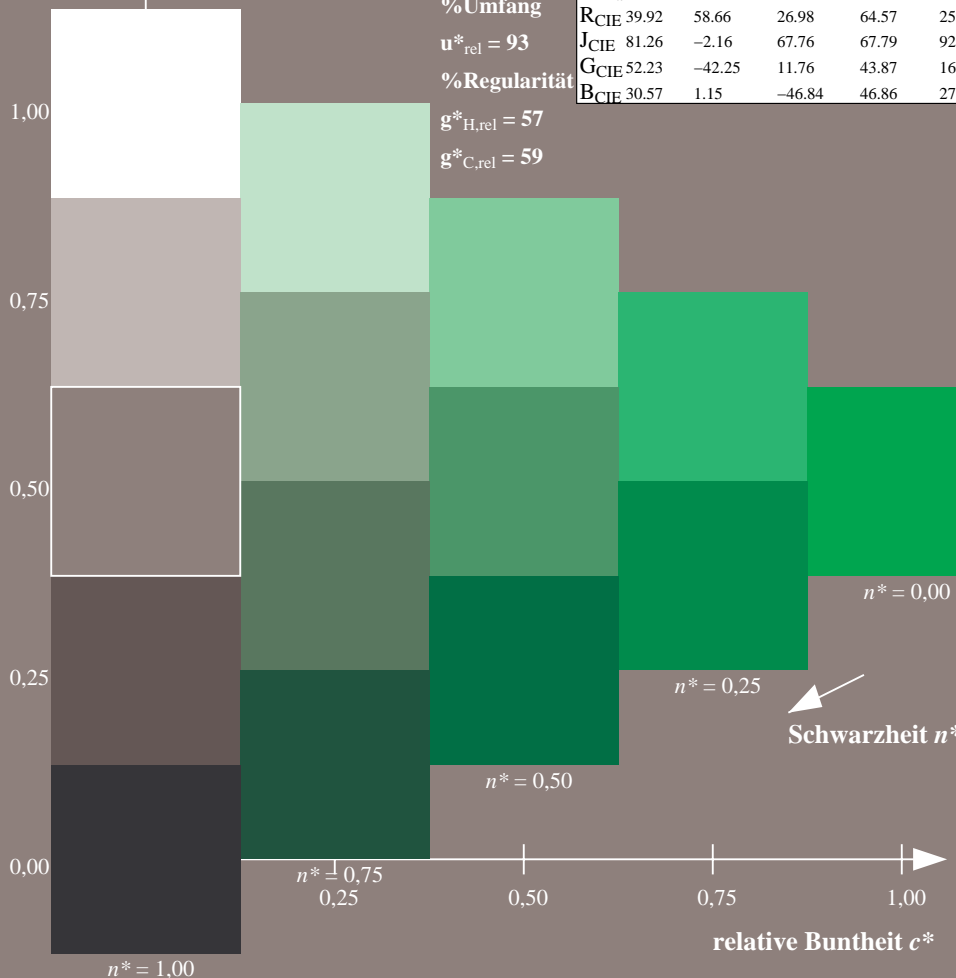
%Umfang

$u^*_{rel} = 93$

%Regularität

$g^*_{H,rel} = 57$

$g^*_{C,rel} = 59$



XG800-7N, 5stufige Reihen für konstanten CIELAB Buntton 151/360 = 0.419 (links)

Ausgabe: Farbmetrisches Offset-Reflektiv-System ORS18a

für Buntton  $h^* = lab^*h = 151/360 = 0.419$

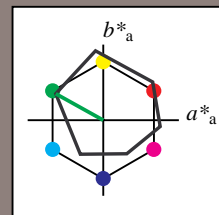
$lab^*tch$  und  $lab^*nch$

D65: Buntton L

LCH\*Ma: 51 72 151

olv\*Ma: 0.0 1.0 0.0

Dreiecks-Helligkeit  $t^*$



ORS18a; adaptierte CIELAB-Daten

	$L^*=L^*_a$	$a^*_a$	$b^*_a$	$C^*_{ab,a}$	$h^*_{ab,a}$
O <sub>Ma</sub>	47.94	65.39	50.52	82.63	38
Y <sub>Ma</sub>	90.37	-10.26	91.75	92.32	96
L <sub>Ma</sub>	50.9	-62.83	34.96	71.91	151
C <sub>Ma</sub>	58.62	-30.34	-45.01	54.3	236
V <sub>Ma</sub>	25.72	31.1	-44.4	54.22	305
M <sub>Ma</sub>	48.13	75.28	-8.36	75.74	354
N <sub>Ma</sub>	18.01	0.0	0.0	0.0	0
W <sub>Ma</sub>	95.41	0.0	0.0	0.0	0
RCIE	39.92	58.66	26.98	64.57	25
JCIE	81.26	-2.16	67.76	67.79	92
GCIE	52.23	-42.25	11.76	43.87	164
BCIE	30.57	1.15	-46.84	46.86	271

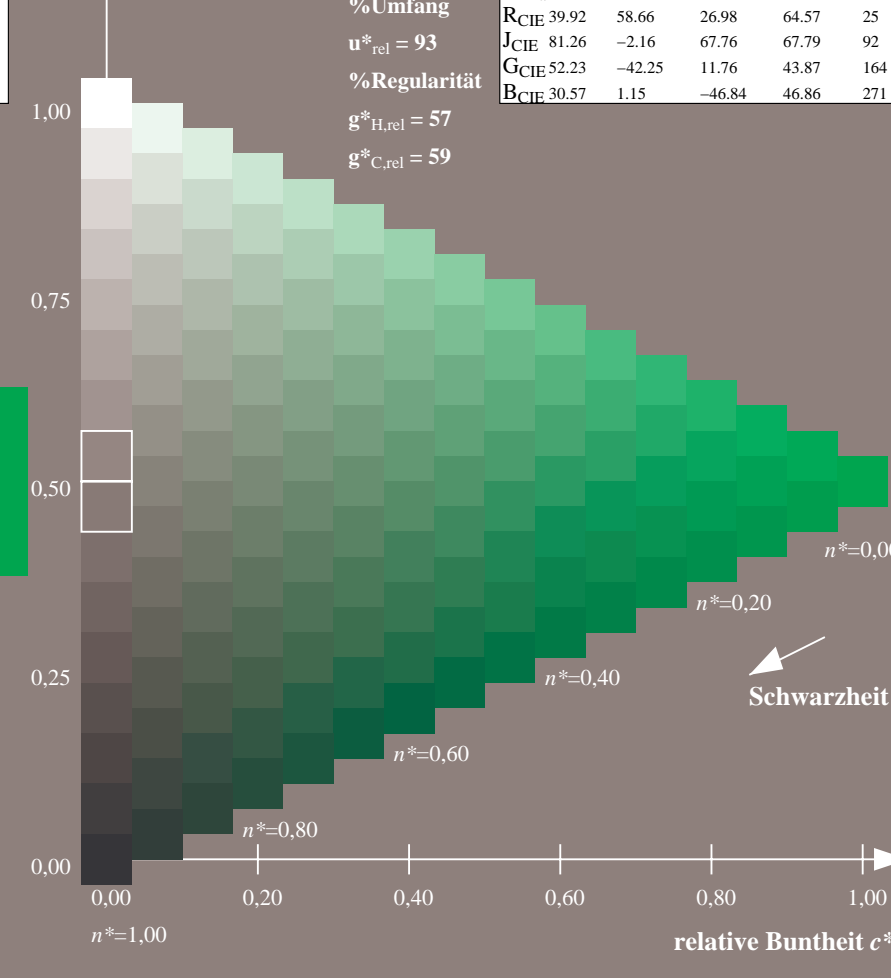
%Umfang

$u^*_{rel} = 93$

%Regularität

$g^*_{H,rel} = 57$

$g^*_{C,rel} = 59$



16stufige Reihen für konstanten CIELAB Buntton 151/360 = 0.419 (rechts)

Eingabe: Farbmétrisches Offset-Reflektiv-System ORS18a

für Buntton  $h^* = lab^*h = 236/360 = 0.656$

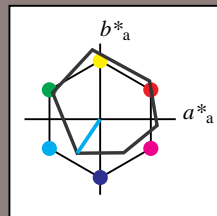
$lab^*tch$  und  $lab^*nch$

D65: Buntton C

LCH\*Ma: 59 54 236

olv\*Ma: 0.0 1.0 1.0

Dreiecks-Helligkeit  $t^*$



ORS18a; adaptierte CIELAB-Daten

	$L^*=L^*_a$	$a^*_a$	$b^*_a$	$C^*_{ab,a}$	$h^*_{ab,a}$
O <sub>Ma</sub>	47.94	65.39	50.52	82.63	38
Y <sub>Ma</sub>	90.37	-10.26	91.75	92.32	96
L <sub>Ma</sub>	50.9	-62.83	34.96	71.91	151
C <sub>Ma</sub>	58.62	-30.34	-45.01	54.3	236
V <sub>Ma</sub>	25.72	31.1	-44.4	54.22	305
M <sub>Ma</sub>	48.13	75.28	-8.36	75.74	354
N <sub>Ma</sub>	18.01	0.0	0.0	0.0	0
W <sub>Ma</sub>	95.41	0.0	0.0	0.0	0
RCIE	39.92	58.66	26.98	64.57	25
JCIE	81.26	-2.16	67.76	67.79	92
GCIE	52.23	-42.25	11.76	43.87	164
BCIE	30.57	1.15	-46.84	46.86	271

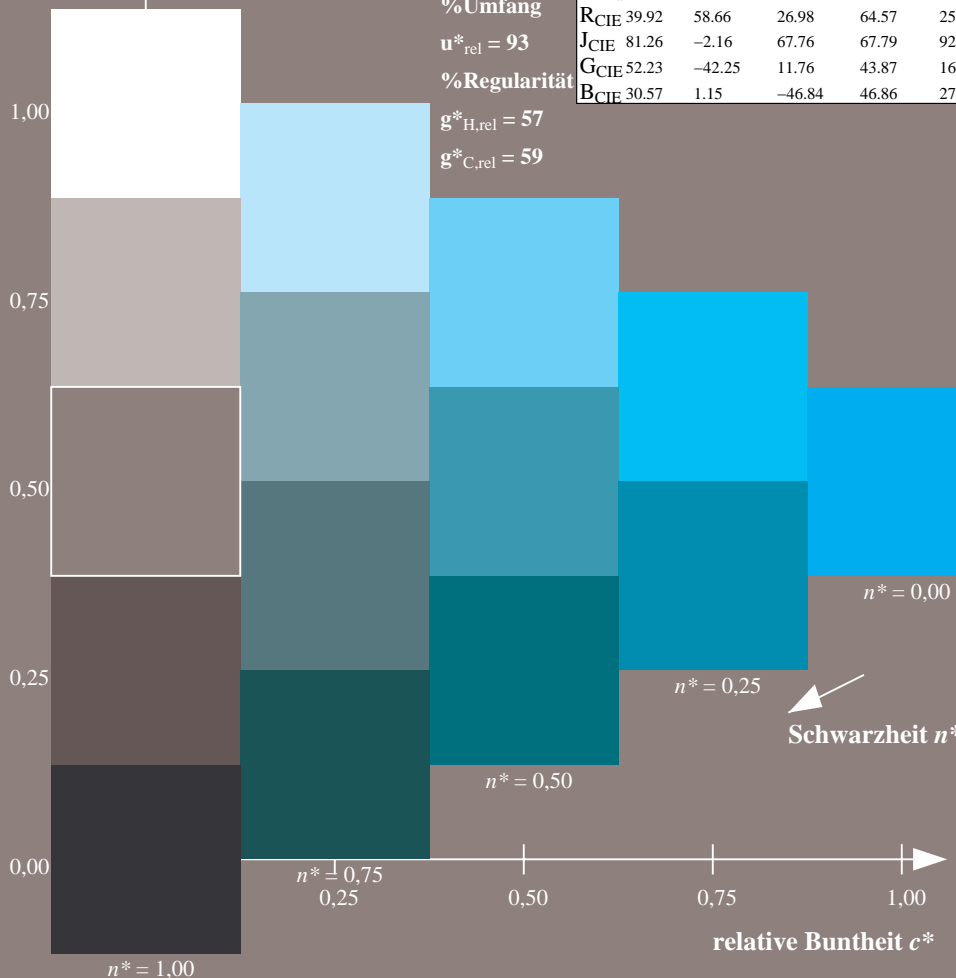
%Umfang

$u^*_{rel} = 93$

%Regularität

$g^*_{H,rel} = 57$

$g^*_{C,rel} = 59$



XG800-7N, 5stufige Reihen für konstanten CIELAB Buntton 236/360 = 0.656 (links)

Ausgabe: Farbmétrisches Offset-Reflektiv-System ORS18a

für Buntton  $h^* = lab^*h = 236/360 = 0.656$

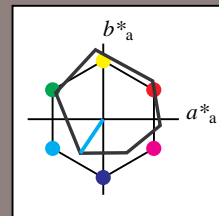
$lab^*tch$  und  $lab^*nch$

D65: Buntton C

LCH\*Ma: 59 54 236

olv\*Ma: 0.0 1.0 1.0

Dreiecks-Helligkeit  $t^*$



ORS18a; adaptierte CIELAB-Daten

	$L^*=L^*_a$	$a^*_a$	$b^*_a$	$C^*_{ab,a}$	$h^*_{ab,a}$
O <sub>Ma</sub>	47.94	65.39	50.52	82.63	38
Y <sub>Ma</sub>	90.37	-10.26	91.75	92.32	96
L <sub>Ma</sub>	50.9	-62.83	34.96	71.91	151
C <sub>Ma</sub>	58.62	-30.34	-45.01	54.3	236
V <sub>Ma</sub>	25.72	31.1	-44.4	54.22	305
M <sub>Ma</sub>	48.13	75.28	-8.36	75.74	354
N <sub>Ma</sub>	18.01	0.0	0.0	0.0	0
W <sub>Ma</sub>	95.41	0.0	0.0	0.0	0
RCIE	39.92	58.66	26.98	64.57	25
JCIE	81.26	-2.16	67.76	67.79	92
GCIE	52.23	-42.25	11.76	43.87	164
BCIE	30.57	1.15	-46.84	46.86	271

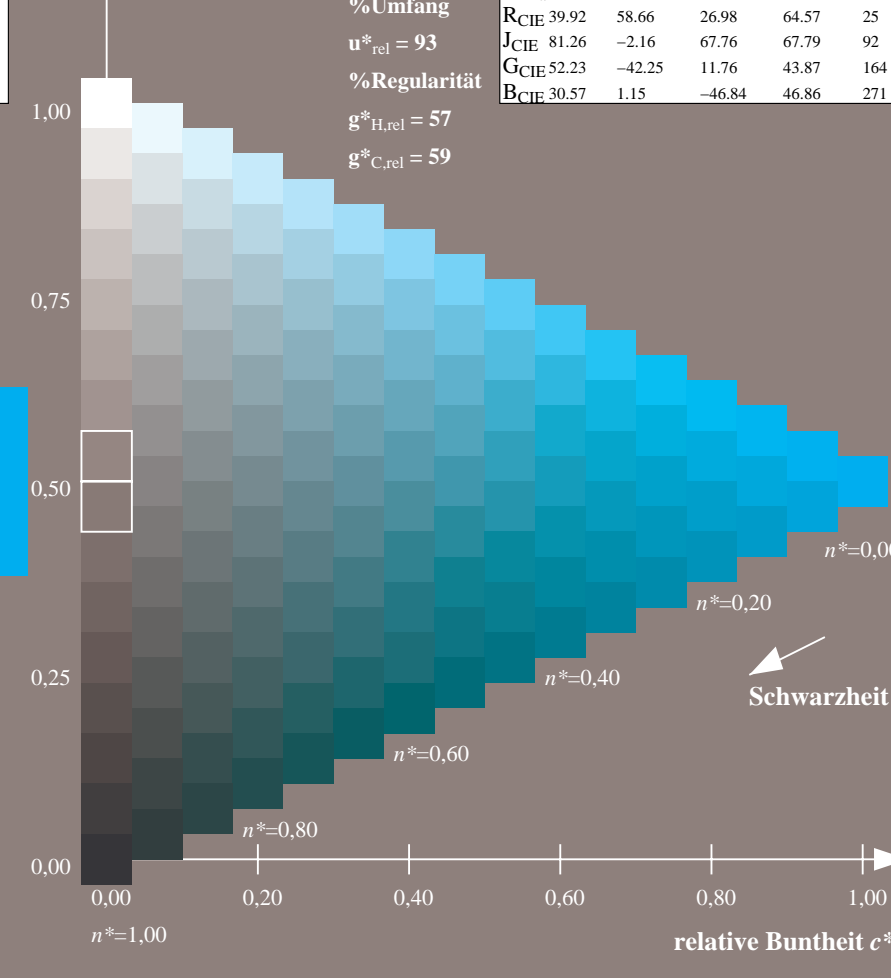
%Umfang

$u^*_{rel} = 93$

%Regularität

$g^*_{H,rel} = 57$

$g^*_{C,rel} = 59$



16stufige Reihen für konstanten CIELAB Buntton 236/360 = 0.656 (rechts)

Eingabe: Farbmetrisches Offset-Reflektiv-System ORS18a

für Buntton  $h^* = lab^*h = 305/360 = 0.847$

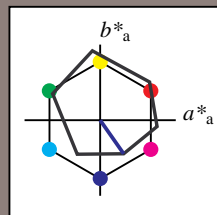
$lab^*tch$  und  $lab^*nch$

D65: Buntton V

LCH\*Ma: 26 54 305

olv\*Ma: 0.0 0.0 1.0

Dreiecks-Helligkeit  $t^*$



ORS18a; adaptierte CIELAB-Daten

	$L^*=L^*_a$	$a^*_a$	$b^*_a$	$C^*_{ab,a}$	$h^*_{ab,a}$
O <sub>Ma</sub>	47.94	65.39	50.52	82.63	38
Y <sub>Ma</sub>	90.37	-10.26	91.75	92.32	96
L <sub>Ma</sub>	50.9	-62.83	34.96	71.91	151
C <sub>Ma</sub>	58.62	-30.34	-45.01	54.3	236
V <sub>Ma</sub>	25.72	31.1	-44.4	54.22	305
M <sub>Ma</sub>	48.13	75.28	-8.36	75.74	354
N <sub>Ma</sub>	18.01	0.0	0.0	0.0	0
W <sub>Ma</sub>	95.41	0.0	0.0	0.0	0
RCIE	39.92	58.66	26.98	64.57	25
JCIE	81.26	-2.16	67.76	67.79	92
GCIE	52.23	-42.25	11.76	43.87	164
BCIE	30.57	1.15	-46.84	46.86	271

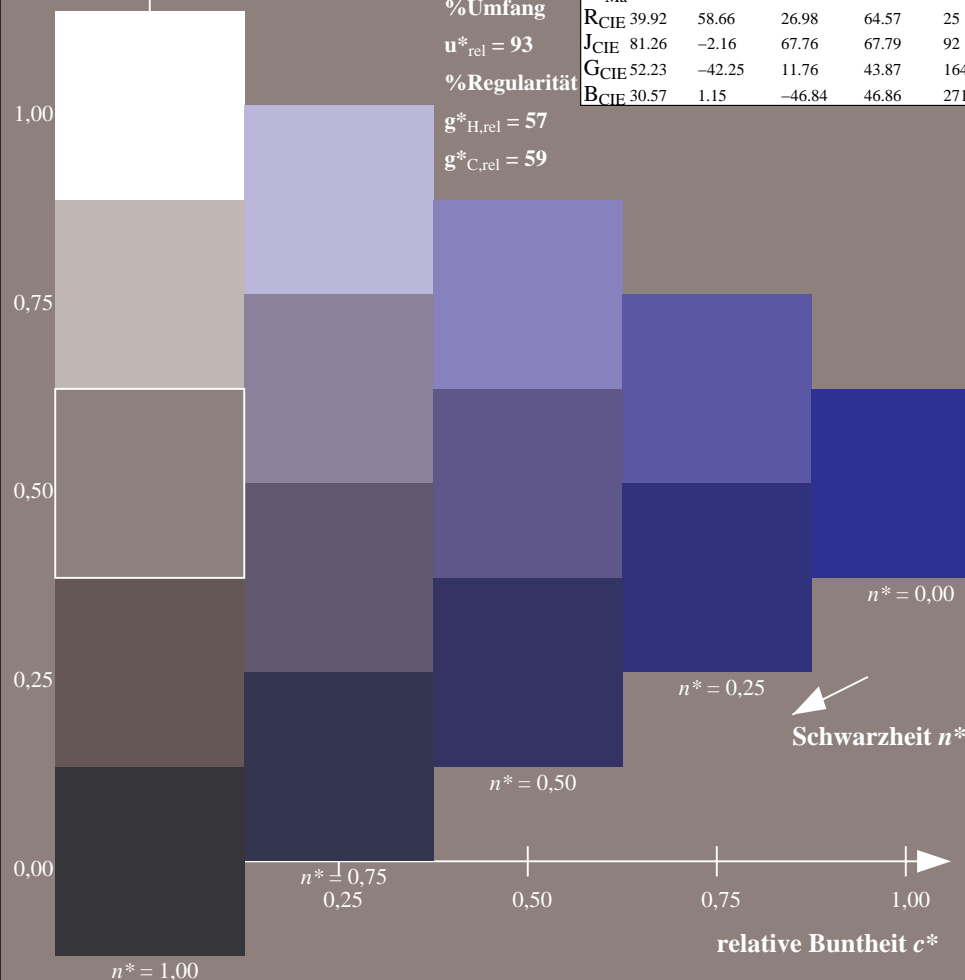
%Umfang

$u^*_{rel} = 93$

%Regularität

$g^*_{H,rel} = 57$

$g^*_{C,rel} = 59$



XG800-7N, 5stufige Reihen für konstanten CIELAB Buntton 305/360 = 0.847 (links)

Ausgabe: Farbmetrisches Offset-Reflektiv-System ORS18a

für Buntton  $h^* = lab^*h = 305/360 = 0.847$

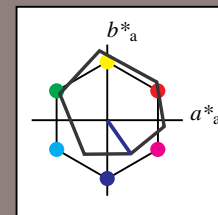
$lab^*tch$  und  $lab^*nch$

D65: Buntton V

LCH\*Ma: 26 54 305

olv\*Ma: 0.0 0.0 1.0

Dreiecks-Helligkeit  $t^*$



ORS18a; adaptierte CIELAB-Daten

	$L^*=L^*_a$	$a^*_a$	$b^*_a$	$C^*_{ab,a}$	$h^*_{ab,a}$
O <sub>Ma</sub>	47.94	65.39	50.52	82.63	38
Y <sub>Ma</sub>	90.37	-10.26	91.75	92.32	96
L <sub>Ma</sub>	50.9	-62.83	34.96	71.91	151
C <sub>Ma</sub>	58.62	-30.34	-45.01	54.3	236
V <sub>Ma</sub>	25.72	31.1	-44.4	54.22	305
M <sub>Ma</sub>	48.13	75.28	-8.36	75.74	354
N <sub>Ma</sub>	18.01	0.0	0.0	0.0	0
W <sub>Ma</sub>	95.41	0.0	0.0	0.0	0
RCIE	39.92	58.66	26.98	64.57	25
JCIE	81.26	-2.16	67.76	67.79	92
GCIE	52.23	-42.25	11.76	43.87	164
BCIE	30.57	1.15	-46.84	46.86	271

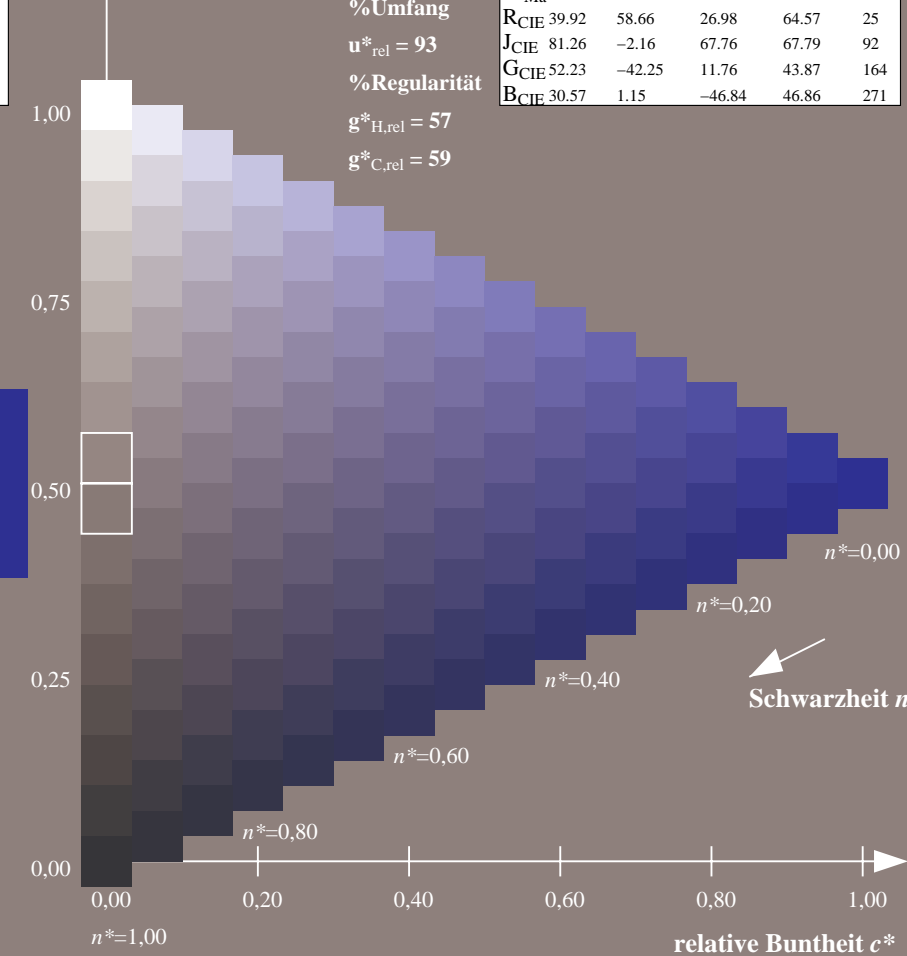
%Umfang

$u^*_{rel} = 93$

%Regularität

$g^*_{H,rel} = 57$

$g^*_{C,rel} = 59$



16stufige Reihen für konstanten CIELAB Buntton 305/360 = 0.847 (rechts)

BAM-Prüfvorlage XG80; Relative Farbwiedergabe, ORS18

Eingabe:  $cmy0(->cmy0^*)setcmykcol$

Unterscheidbarkeit: 5 und 16stufigen Farbreihen, Seite 5/11 (V)

Ausgabe: keine Eingabeänderung

Eingabe: Farbmétrisches Offset-Reflektiv-System ORS18a

für Buntton  $h^* = lab^*h = 354/360 = 0.982$

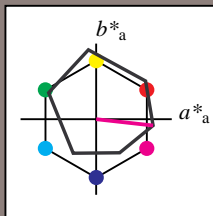
$lab^*tch$  und  $lab^*nch$

D65: Buntton M

LCH\*Ma: 48 76 354

olv\*Ma: 1.0 0.0 1.0

Dreiecks-Helligkeit  $t^*$



ORS18a; adaptierte CIELAB-Daten

	$L^*=L^*_a$	$a^*_a$	$b^*_a$	$C^*_{ab,a}$	$h^*_{ab,a}$
O <sub>Ma</sub>	47.94	65.39	50.52	82.63	38
Y <sub>Ma</sub>	90.37	-10.26	91.75	92.32	96
L <sub>Ma</sub>	50.9	-62.83	34.96	71.91	151
C <sub>Ma</sub>	58.62	-30.34	-45.01	54.3	236
V <sub>Ma</sub>	25.72	31.1	-44.4	54.22	305
M <sub>Ma</sub>	48.13	75.28	-8.36	75.74	354
N <sub>Ma</sub>	18.01	0.0	0.0	0.0	0
W <sub>Ma</sub>	95.41	0.0	0.0	0.0	0
RCIE	39.92	58.66	26.98	64.57	25
JCIE	81.26	-2.16	67.76	67.79	92
GCIE	52.23	-42.25	11.76	43.87	164
BCIE	30.57	1.15	-46.84	46.86	271

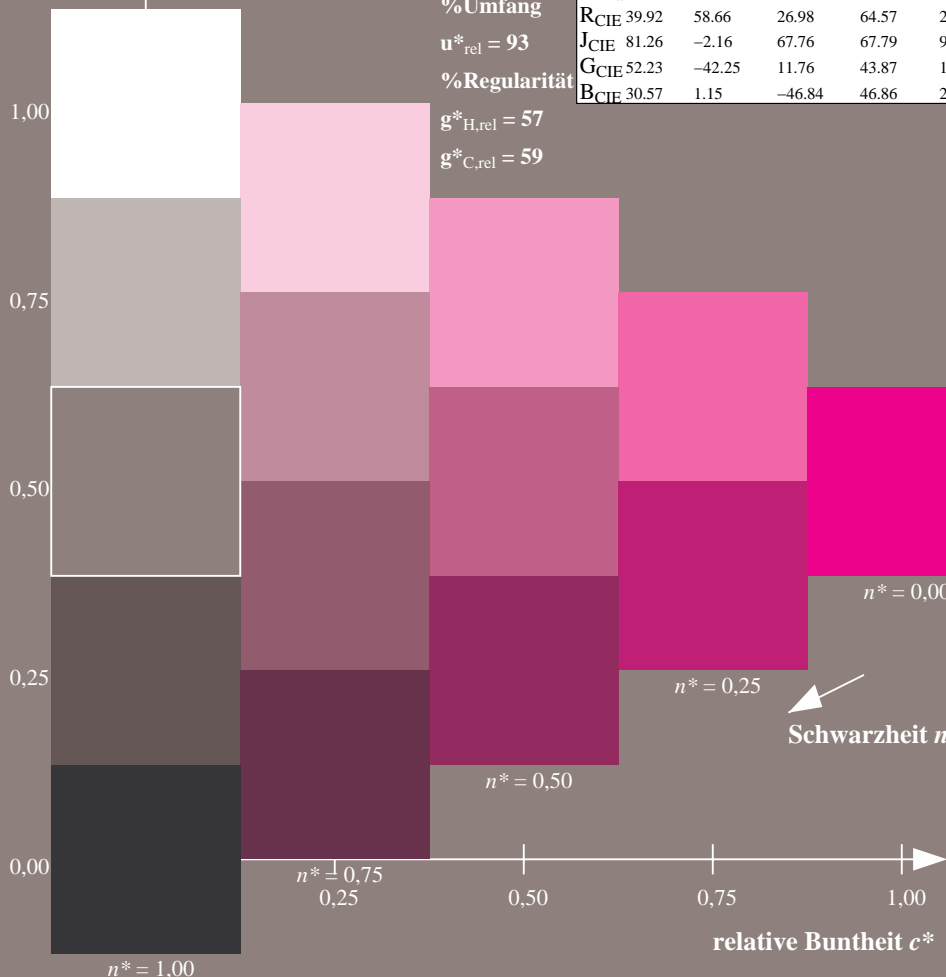
%Umfang

$u^*_{rel} = 93$

%Regularität

$g^*_{H,rel} = 57$

$g^*_{C,rel} = 59$



XG800-7N, 5stufige Reihen für konstanten CIELAB Buntton 354/360 = 0.982 (links)

Ausgabe: Farbmétrisches Offset-Reflektiv-System ORS18a

für Buntton  $h^* = lab^*h = 354/360 = 0.982$

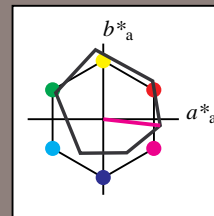
$lab^*tch$  und  $lab^*nch$

D65: Buntton M

LCH\*Ma: 48 76 354

olv\*Ma: 1.0 0.0 1.0

Dreiecks-Helligkeit  $t^*$



ORS18a; adaptierte CIELAB-Daten

	$L^*=L^*_a$	$a^*_a$	$b^*_a$	$C^*_{ab,a}$	$h^*_{ab,a}$
O <sub>Ma</sub>	47.94	65.39	50.52	82.63	38
Y <sub>Ma</sub>	90.37	-10.26	91.75	92.32	96
L <sub>Ma</sub>	50.9	-62.83	34.96	71.91	151
C <sub>Ma</sub>	58.62	-30.34	-45.01	54.3	236
V <sub>Ma</sub>	25.72	31.1	-44.4	54.22	305
M <sub>Ma</sub>	48.13	75.28	-8.36	75.74	354
N <sub>Ma</sub>	18.01	0.0	0.0	0.0	0
W <sub>Ma</sub>	95.41	0.0	0.0	0.0	0
RCIE	39.92	58.66	26.98	64.57	25
JCIE	81.26	-2.16	67.76	67.79	92
GCIE	52.23	-42.25	11.76	43.87	164
BCIE	30.57	1.15	-46.84	46.86	271

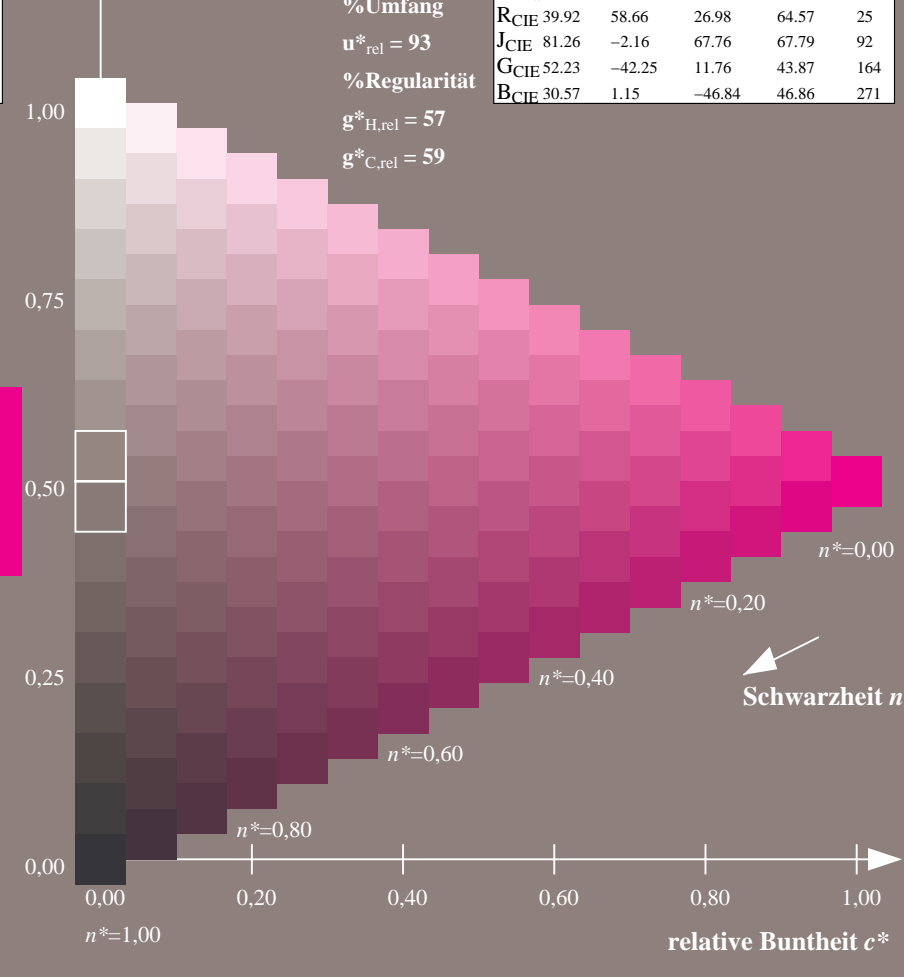
%Umfang

$u^*_{rel} = 93$

%Regularität

$g^*_{H,rel} = 57$

$g^*_{C,rel} = 59$



16stufige Reihen für konstanten CIELAB Buntton 354/360 = 0.982 (rechts)

Eingabe: Farbmetrisches Offset-Reflektiv-System ORS18a

für Buntton  $h^* = lab^*h = 25/360 = 0.069$

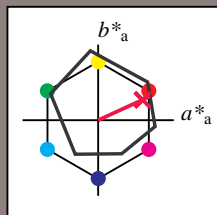
$lab^*tch$  und  $lab^*nch$

D65: Buntton R

LCH\*Ma: 48 75 25

olv\*Ma: 1.0 0.0 0.32

Dreiecks-Helligkeit  $t^*$



ORS18a; adaptierte CIELAB-Daten

	$L^*=L^*_a$	$a^*_a$	$b^*_a$	$C^*_{ab,a}$	$h^*_{ab,a}$
O <sub>Ma</sub>	47.94	65.39	50.52	82.63	38
Y <sub>Ma</sub>	90.37	-10.26	91.75	92.32	96
L <sub>Ma</sub>	50.9	-62.83	34.96	71.91	151
C <sub>Ma</sub>	58.62	-30.34	-45.01	54.3	236
V <sub>Ma</sub>	25.72	31.1	-44.4	54.22	305
M <sub>Ma</sub>	48.13	75.28	-8.36	75.74	354
N <sub>Ma</sub>	18.01	0.0	0.0	0.0	0
W <sub>Ma</sub>	95.41	0.0	0.0	0.0	0
RCIE	39.92	58.66	26.98	64.57	25
JCIE	81.26	-2.16	67.76	67.79	92
GCIE	52.23	-42.25	11.76	43.87	164
BCIE	30.57	1.15	-46.84	46.86	271

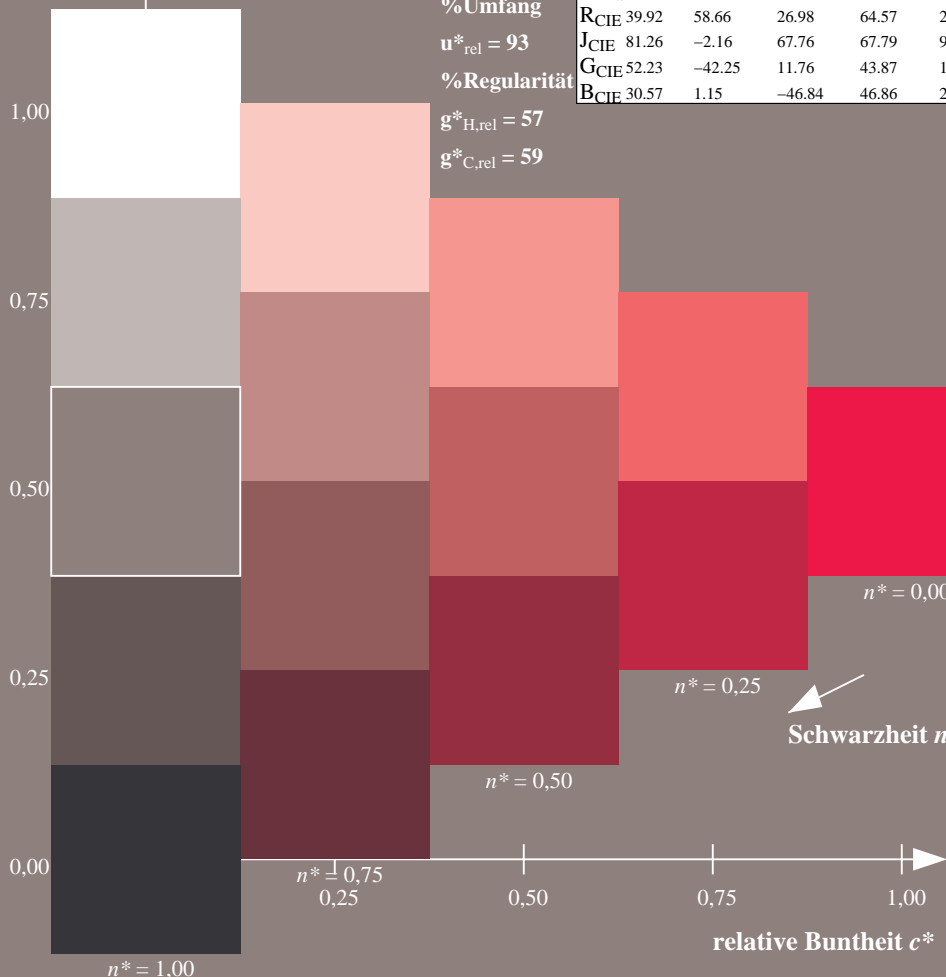
%Umfang

$u^*_{rel} = 93$

%Regularität

$g^*_{H,rel} = 57$

$g^*_{C,rel} = 59$



XG800-7N, 5stufige Reihen für konstanten CIELAB Buntton 25/360 = 0.069 (links)

Ausgabe: Farbmetrisches Offset-Reflektiv-System ORS18a

für Buntton  $h^* = lab^*h = 25/360 = 0.069$

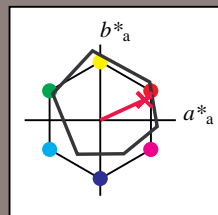
$lab^*tch$  und  $lab^*nch$

D65: Buntton R

LCH\*Ma: 48 75 25

olv\*Ma: 1.0 0.0 0.32

Dreiecks-Helligkeit  $t^*$



ORS18a; adaptierte CIELAB-Daten

	$L^*=L^*_a$	$a^*_a$	$b^*_a$	$C^*_{ab,a}$	$h^*_{ab,a}$
O <sub>Ma</sub>	47.94	65.39	50.52	82.63	38
Y <sub>Ma</sub>	90.37	-10.26	91.75	92.32	96
L <sub>Ma</sub>	50.9	-62.83	34.96	71.91	151
C <sub>Ma</sub>	58.62	-30.34	-45.01	54.3	236
V <sub>Ma</sub>	25.72	31.1	-44.4	54.22	305
M <sub>Ma</sub>	48.13	75.28	-8.36	75.74	354
N <sub>Ma</sub>	18.01	0.0	0.0	0.0	0
W <sub>Ma</sub>	95.41	0.0	0.0	0.0	0
RCIE	39.92	58.66	26.98	64.57	25
JCIE	81.26	-2.16	67.76	67.79	92
GCIE	52.23	-42.25	11.76	43.87	164
BCIE	30.57	1.15	-46.84	46.86	271

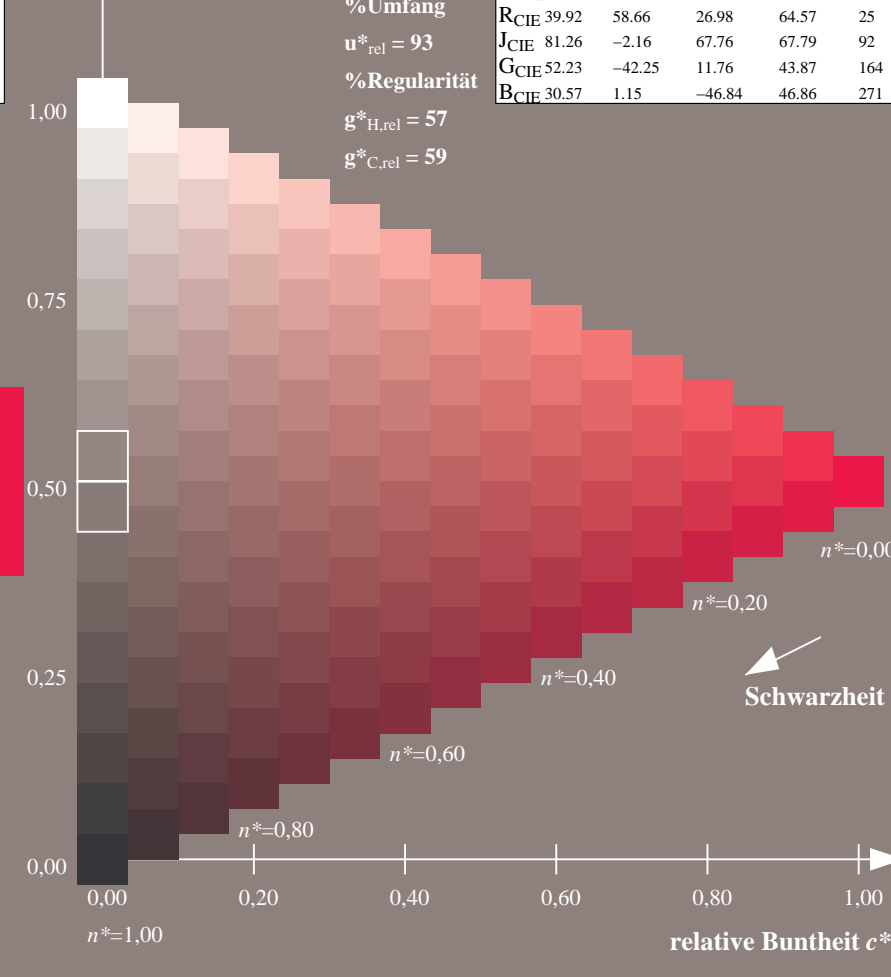
%Umfang

$u^*_{rel} = 93$

%Regularität

$g^*_{H,rel} = 57$

$g^*_{C,rel} = 59$



16stufige Reihen für konstanten CIELAB Buntton 25/360 = 0.069 (rechts)

Eingabe: Farbmetrisches Offset-Reflektiv-System ORS18a

für Buntton  $h^* = lab^*h = 92/360 = 0.255$

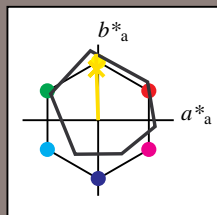
$lab^*tch$  und  $lab^*nch$

D65: Buntton J

LCH\*Ma: 86 88 92

olv\*Ma: 1.0 0.9 0.0

Dreiecks-Helligkeit  $t^*$



ORS18a; adaptierte CIELAB-Daten

	$L^*=L^*_a$	$a^*_a$	$b^*_a$	$C^*_{ab,a}$	$h^*_{ab,a}$
O <sub>Ma</sub>	47.94	65.39	50.52	82.63	38
Y <sub>Ma</sub>	90.37	-10.26	91.75	92.32	96
L <sub>Ma</sub>	50.9	-62.83	34.96	71.91	151
C <sub>Ma</sub>	58.62	-30.34	-45.01	54.3	236
V <sub>Ma</sub>	25.72	31.1	-44.4	54.22	305
M <sub>Ma</sub>	48.13	75.28	-8.36	75.74	354
N <sub>Ma</sub>	18.01	0.0	0.0	0.0	0
W <sub>Ma</sub>	95.41	0.0	0.0	0.0	0
RCIE	39.92	58.66	26.98	64.57	25
JCIE	81.26	-2.16	67.76	67.79	92
GCIE	52.23	-42.25	11.76	43.87	164
BCIE	30.57	1.15	-46.84	46.86	271

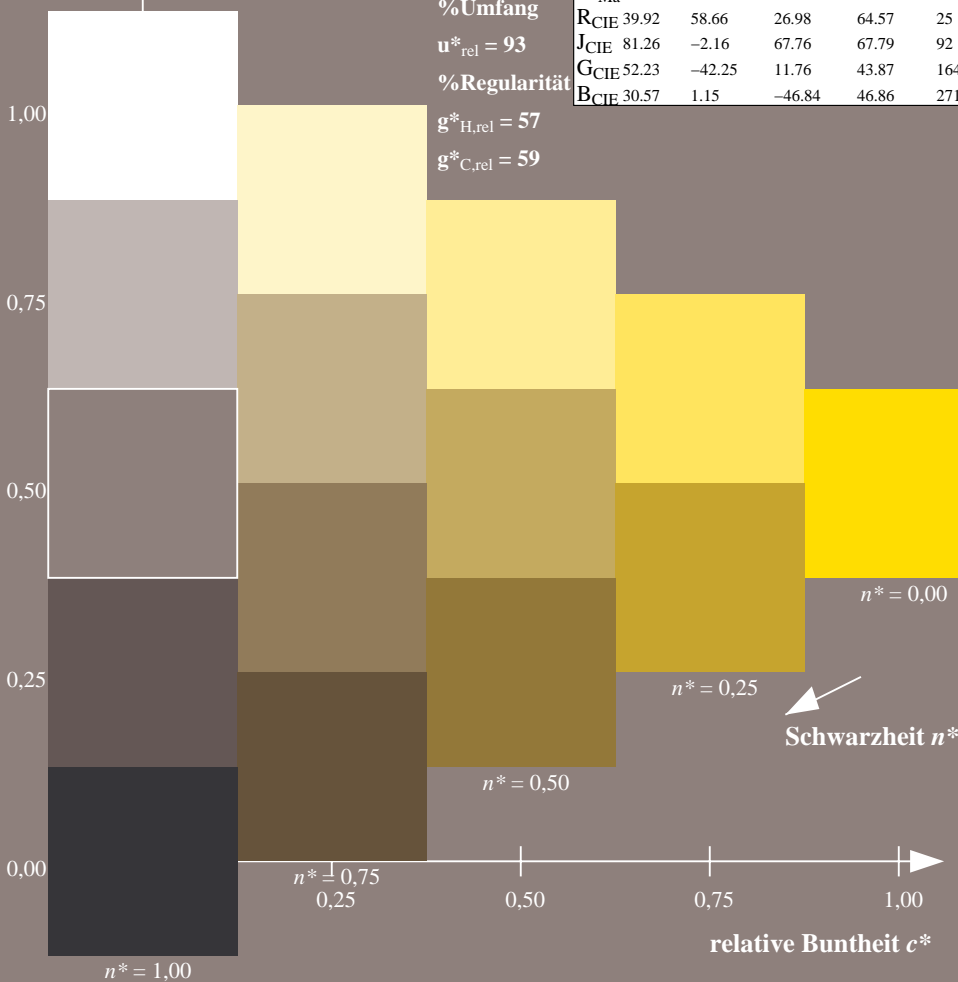
%Umfang

$u^*_{rel} = 93$

%Regularität

$g^*_{H,rel} = 57$

$g^*_{C,rel} = 59$



XG800-7N, 5stufige Reihen für konstanten CIELAB Buntton  $92/360 = 0.255$  (links)

Ausgabe: Farbmetrisches Offset-Reflektiv-System ORS18a

für Buntton  $h^* = lab^*h = 92/360 = 0.255$

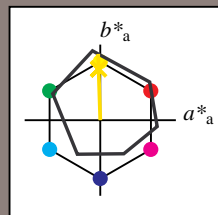
$lab^*tch$  und  $lab^*nch$

D65: Buntton J

LCH\*Ma: 86 88 92

olv\*Ma: 1.0 0.9 0.0

Dreiecks-Helligkeit  $t^*$



ORS18a; adaptierte CIELAB-Daten

	$L^*=L^*_a$	$a^*_a$	$b^*_a$	$C^*_{ab,a}$	$h^*_{ab,a}$
O <sub>Ma</sub>	47.94	65.39	50.52	82.63	38
Y <sub>Ma</sub>	90.37	-10.26	91.75	92.32	96
L <sub>Ma</sub>	50.9	-62.83	34.96	71.91	151
C <sub>Ma</sub>	58.62	-30.34	-45.01	54.3	236
V <sub>Ma</sub>	25.72	31.1	-44.4	54.22	305
M <sub>Ma</sub>	48.13	75.28	-8.36	75.74	354
N <sub>Ma</sub>	18.01	0.0	0.0	0.0	0
W <sub>Ma</sub>	95.41	0.0	0.0	0.0	0
RCIE	39.92	58.66	26.98	64.57	25
JCIE	81.26	-2.16	67.76	67.79	92
GCIE	52.23	-42.25	11.76	43.87	164
BCIE	30.57	1.15	-46.84	46.86	271

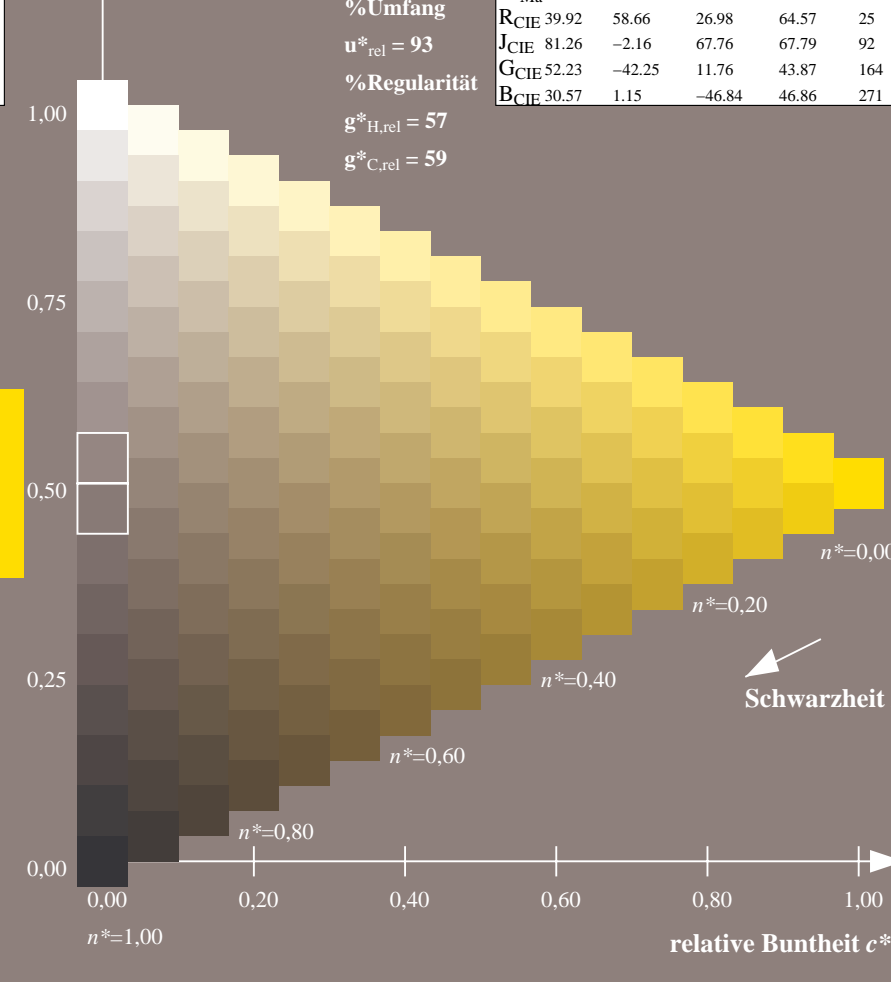
%Umfang

$u^*_{rel} = 93$

%Regularität

$g^*_{H,rel} = 57$

$g^*_{C,rel} = 59$



16stufige Reihen für konstanten CIELAB Buntton  $92/360 = 0.255$  (rechts)



Eingabe: Farbmétrisches Offset-Reflektiv-System ORS18a

für Buntton  $h^* = lab^*h = 164/360 = 0.457$

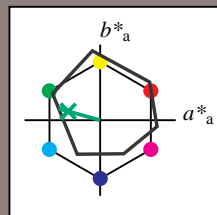
$lab^*tch$  und  $lab^*nch$

D65: Buntton G

LCH\*Ma: 53 57 164

olv\*Ma: 0.0 1.0 0.25

Dreiecks-Helligkeit  $t^*$



ORS18a; adaptierte CIELAB-Daten

	$L^*=L^*_a$	$a^*_a$	$b^*_a$	$C^*_{ab,a}$	$h^*_{ab,a}$
O <sub>Ma</sub>	47.94	65.39	50.52	82.63	38
Y <sub>Ma</sub>	90.37	-10.26	91.75	92.32	96
L <sub>Ma</sub>	50.9	-62.83	34.96	71.91	151
C <sub>Ma</sub>	58.62	-30.34	-45.01	54.3	236
V <sub>Ma</sub>	25.72	31.1	-44.4	54.22	305
M <sub>Ma</sub>	48.13	75.28	-8.36	75.74	354
N <sub>Ma</sub>	18.01	0.0	0.0	0.0	0
W <sub>Ma</sub>	95.41	0.0	0.0	0.0	0
RCIE	39.92	58.66	26.98	64.57	25
JCIE	81.26	-2.16	67.76	67.79	92
GCIE	52.23	-42.25	11.76	43.87	164
BCIE	30.57	1.15	-46.84	46.86	271

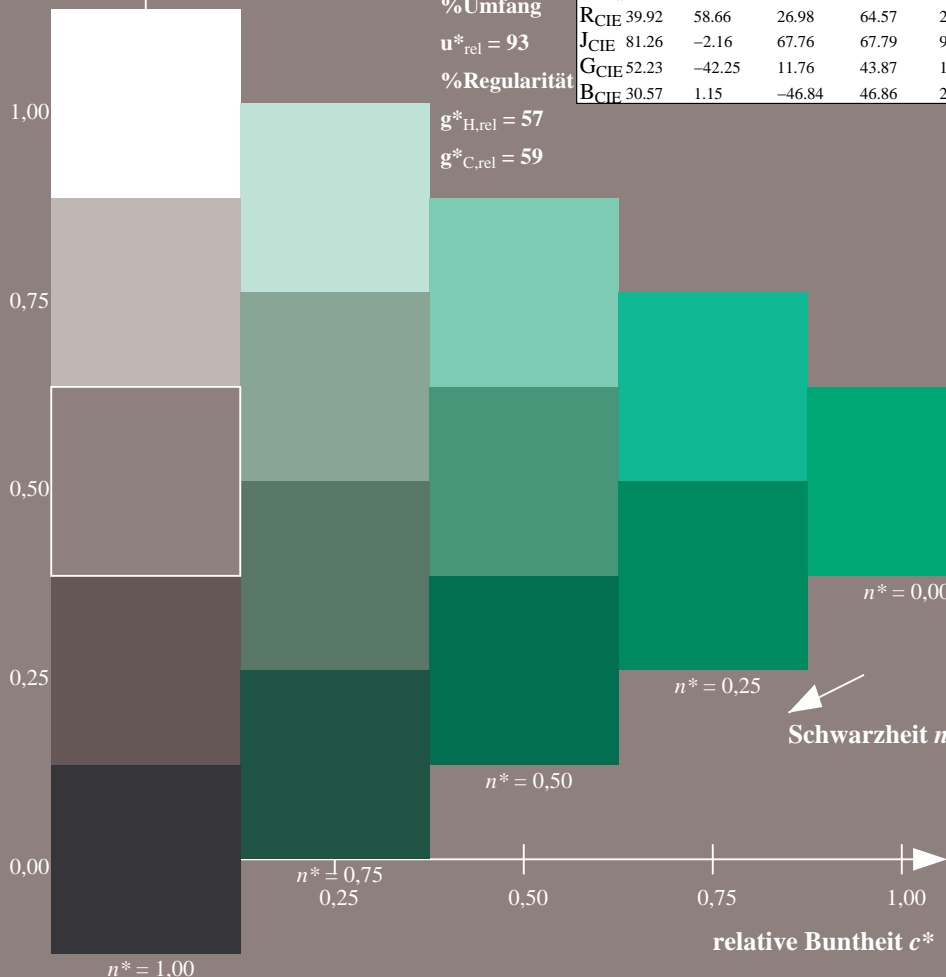
%Umfang

$u^*_{rel} = 93$

%Regularität

$g^*_{H,rel} = 57$

$g^*_{C,rel} = 59$



XG800-7N, 5stufige Reihen für konstanten CIELAB Buntton 164/360 = 0.457 (links)

Ausgabe: Farbmétrisches Offset-Reflektiv-System ORS18a

für Buntton  $h^* = lab^*h = 164/360 = 0.457$

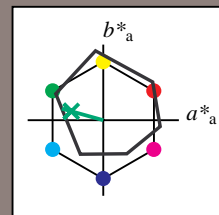
$lab^*tch$  und  $lab^*nch$

D65: Buntton G

LCH\*Ma: 53 57 164

olv\*Ma: 0.0 1.0 0.25

Dreiecks-Helligkeit  $t^*$



ORS18a; adaptierte CIELAB-Daten

	$L^*=L^*_a$	$a^*_a$	$b^*_a$	$C^*_{ab,a}$	$h^*_{ab,a}$
O <sub>Ma</sub>	47.94	65.39	50.52	82.63	38
Y <sub>Ma</sub>	90.37	-10.26	91.75	92.32	96
L <sub>Ma</sub>	50.9	-62.83	34.96	71.91	151
C <sub>Ma</sub>	58.62	-30.34	-45.01	54.3	236
V <sub>Ma</sub>	25.72	31.1	-44.4	54.22	305
M <sub>Ma</sub>	48.13	75.28	-8.36	75.74	354
N <sub>Ma</sub>	18.01	0.0	0.0	0.0	0
W <sub>Ma</sub>	95.41	0.0	0.0	0.0	0
RCIE	39.92	58.66	26.98	64.57	25
JCIE	81.26	-2.16	67.76	67.79	92
GCIE	52.23	-42.25	11.76	43.87	164
BCIE	30.57	1.15	-46.84	46.86	271

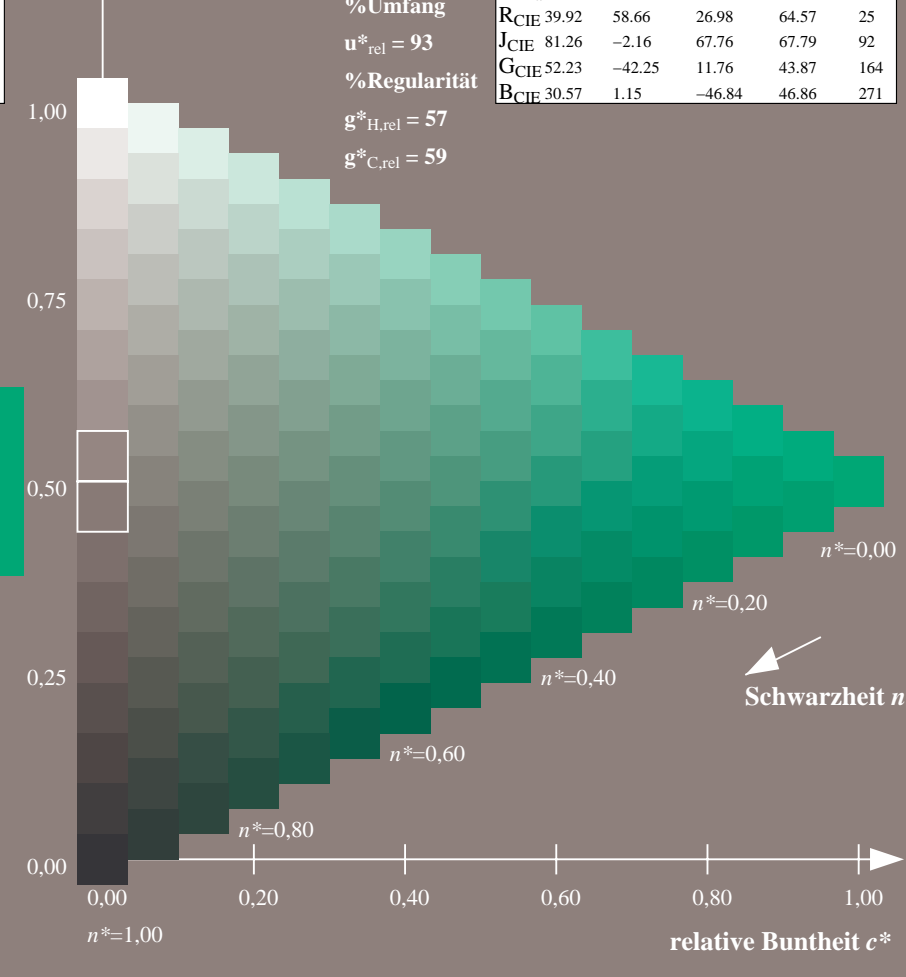
%Umfang

$u^*_{rel} = 93$

%Regularität

$g^*_{H,rel} = 57$

$g^*_{C,rel} = 59$



16stufige Reihen für konstanten CIELAB Buntton 164/360 = 0.457 (rechts)

Eingabe: Farbmetrisches Offset-Reflektiv-System ORS18a

für Buntton  $h^* = lab^*h = 271/360 = 0.754$

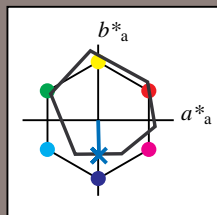
$lab^*tch$  und  $lab^*nch$

D65: Buntton B

LCH\*Ma: 42 45 271

olv\*Ma: 0.0 0.49 1.0

Dreiecks-Helligkeit  $t^*$



ORS18a; adaptierte CIELAB-Daten

	$L^*=L^*_a$	$a^*_a$	$b^*_a$	$C^*_{ab,a}$	$h^*_{ab,a}$
O <sub>Ma</sub>	47.94	65.39	50.52	82.63	38
Y <sub>Ma</sub>	90.37	-10.26	91.75	92.32	96
L <sub>Ma</sub>	50.9	-62.83	34.96	71.91	151
C <sub>Ma</sub>	58.62	-30.34	-45.01	54.3	236
V <sub>Ma</sub>	25.72	31.1	-44.4	54.22	305
M <sub>Ma</sub>	48.13	75.28	-8.36	75.74	354
N <sub>Ma</sub>	18.01	0.0	0.0	0.0	0
W <sub>Ma</sub>	95.41	0.0	0.0	0.0	0
RCIE	39.92	58.66	26.98	64.57	25
JCIE	81.26	-2.16	67.76	67.79	92
GCIE	52.23	-42.25	11.76	43.87	164
BCIE	30.57	1.15	-46.84	46.86	271

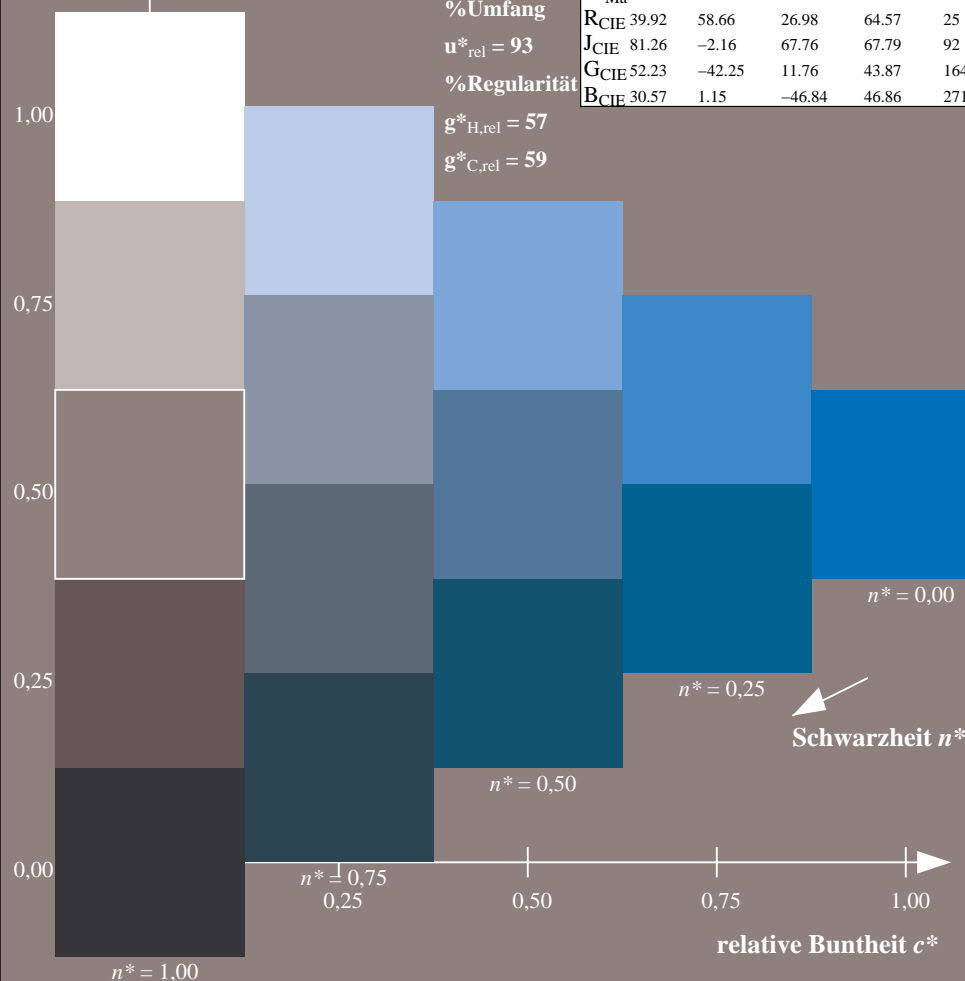
%Umfang

$u^*_{rel} = 93$

%Regularität

$g^*_{H,rel} = 57$

$g^*_{C,rel} = 59$



XG800-7N, 5stufige Reihen für konstanten CIELAB Buntton 271/360 = 0.754 (links)

Ausgabe: Farbmetrisches Offset-Reflektiv-System ORS18a

für Buntton  $h^* = lab^*h = 271/360 = 0.754$

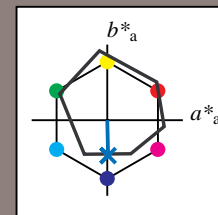
$lab^*tch$  und  $lab^*nch$

D65: Buntton B

LCH\*Ma: 42 45 271

olv\*Ma: 0.0 0.49 1.0

Dreiecks-Helligkeit  $t^*$



ORS18a; adaptierte CIELAB-Daten

	$L^*=L^*_a$	$a^*_a$	$b^*_a$	$C^*_{ab,a}$	$h^*_{ab,a}$
O <sub>Ma</sub>	47.94	65.39	50.52	82.63	38
Y <sub>Ma</sub>	90.37	-10.26	91.75	92.32	96
L <sub>Ma</sub>	50.9	-62.83	34.96	71.91	151
C <sub>Ma</sub>	58.62	-30.34	-45.01	54.3	236
V <sub>Ma</sub>	25.72	31.1	-44.4	54.22	305
M <sub>Ma</sub>	48.13	75.28	-8.36	75.74	354
N <sub>Ma</sub>	18.01	0.0	0.0	0.0	0
W <sub>Ma</sub>	95.41	0.0	0.0	0.0	0
RCIE	39.92	58.66	26.98	64.57	25
JCIE	81.26	-2.16	67.76	67.79	92
GCIE	52.23	-42.25	11.76	43.87	164
BCIE	30.57	1.15	-46.84	46.86	271

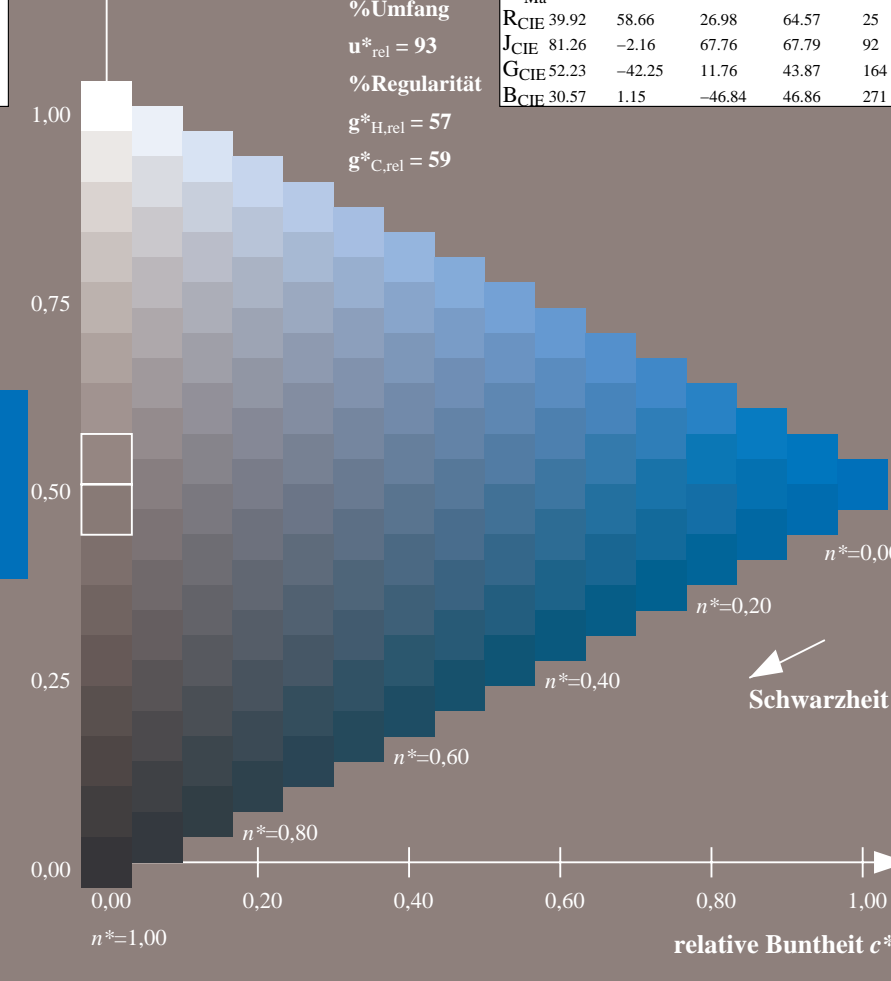
%Umfang

$u^*_{rel} = 93$

%Regularität

$g^*_{H,rel} = 57$

$g^*_{C,rel} = 59$



16stufige Reihen für konstanten CIELAB Buntton 271/360 = 0.754 (rechts)

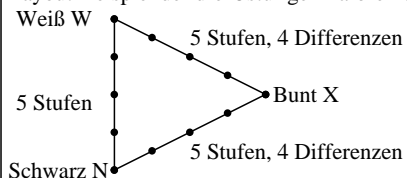
BAM-Prüfvorlage XG80; Relative Farbwiedergabe, ORS18

Eingabe:  $cmy0(->c^*m^*j0^*)setcmykcol$

Unterscheidbarkeit: 5 und 16stufigen Farbreihen, Seite 10/11 (B) Ausgabe: keine Eingabeänderung

### Unterscheidbarkeit von 5stufigen Farbreihen (Ja/Nein-Entscheidung)

Layout-Beispiel der drei 5stufigen Farbreihen



Es gibt drei Grundfarben auf jeder Seite:  
Schwarz N, Weiß W und Bunt X.  
Zehn Seiten enthalten 10 Bunttonebenen  
X = OYLCVM und RJGB.  
Es gibt maximal 12 unterscheidbare Stufen.

Alle Stufen der drei Serien N-W, W-X und X-N sollen unterscheidbar sein auf allen Seiten

**Sind die drei 5stufigen Reihen auf allen Seiten unterscheidbar? unterstreiche: Ja/Nein**

Nur im Fall von Nein: Sind die drei 5stufigen Reihen auf Seite x von 10 Seiten unterscheidbar?

- Unterstreiche Ja/Nein und gib im Fall von Nein die Anzahl unterscheidbarer Stufen an
- Seite 1: Ja/Nein, wenn Nein ../12 Stufendifferenzen sind unterscheidbar von O = Orangerot
  - Seite 2: Ja/Nein, wenn Nein ../12 Stufendifferenzen sind unterscheidbar von Y = Gelb
  - Seite 3: Ja/Nein, wenn Nein ../12 Stufendifferenzen sind unterscheidbar von L = Laubgrün
  - Seite 4: Ja/Nein, wenn Nein ../12 Stufendifferenzen sind unterscheidbar von C = Cyanblau
  - Seite 5: Ja/Nein, wenn Nein ../12 Stufendifferenzen sind unterscheidbar von V = Violettblau
  - Seite 6: Ja/Nein, wenn Nein ../12 Stufendifferenzen sind unterscheidbar von M = Magentarot
  - Seite 7: Ja/Nein, wenn Nein ../12 Stufendifferenzen sind unterscheidbar von R = Elementarrot
  - Seite 8: Ja/Nein, wenn Nein ../12 Stufendifferenzen sind unterscheidbar von J = Elementargelb
  - Seite 9: Ja/Nein, wenn Nein ../12 Stufendifferenzen sind unterscheidbar von G = Elementargrün
  - Seite 10: Ja/Nein, wenn Nein ../12 Stufendifferenzen sind unterscheidbar von B = Elementarblau

Summe: ../10 Ja-Seiten und ../120 Stufendifferenzen unterscheidbar

Teil 1

XG800-3

### Dokumentation von Dateiformat, Hard- und Software für diese Prüfung:

**PDF-Datei:** entweder [www.ps.bam.de/XG80/10L/L80G00NP.PDF](http://www.ps.bam.de/XG80/10L/L80G00NP.PDF) oder [www.ps.bam.de/XG80/10P/P80G00NP.PDF](http://www.ps.bam.de/XG80/10P/P80G00NP.PDF) **unterstreiche Ja/Nein**  
oder [www.ps.bam.de/XG80/10L/L80G00NA.PS](http://www.ps.bam.de/XG80/10L/L80G00NA.PS) oder [www.ps.bam.de/XG80/10P/P80G00NA.PS](http://www.ps.bam.de/XG80/10P/P80G00NA.PS) **oder unterstreiche Ja/Nein**

**PS-Datei:** entweder [www.ps.bam.de/XG80/10L/L80G00NA.PS](http://www.ps.bam.de/XG80/10L/L80G00NA.PS) **oder unterstreiche Ja/Nein**  
oder [www.ps.bam.de/XG80/10P/P80G00NA.PS](http://www.ps.bam.de/XG80/10P/P80G00NA.PS) **oder unterstreiche Ja/Nein**

#### benutztes Rechner-Betriebssystem:

nur eines von Windows/Mac/Unix/anderes und Version:.....

**Die Beurteilung ist für die Geräteausgabe: unterstreiche Monitor/Datenprojektor/Drucker**

Geräte-Modell, -Treiber und -Version:.....

**Geräteausgabe mit PDF/PS-Datei: unterstreiche PDF-/PS-Datei**

#### Für Geräteausgabe mit PDF-Datei (L/P)80G00NP.PDF:

- entweder PDF-Dateitransfer "download, copy" nach PDF-Gerät.....
- oder mit Rechnersystem-Interpretation durch "Display-PDF":.....
- oder mit Rechner-System, z. B. Adobe-Reader/-Acrobat und Version:.....
- oder mit Software, z. B. Ghostscript und Version:.....

#### Für Geräteausgabe mit PS-Datei (L/P)80G00NA.PS:

- entweder PS-Dateitransfer "download, copy" nach PS-Gerät.....
- oder mit Rechnersystem-Interpretation durch "Display-PS":.....
- oder mit Software, z. B. Ghostscript und Version:.....
- oder mit Software, z. B. Mac-Yap und Version:.....

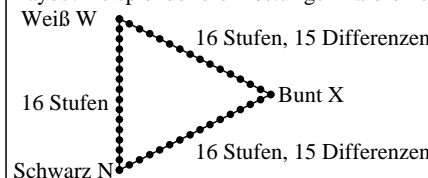
Spezielle Anmerkungen, z. B. Ausgabe von Landschaftsdatei (L) L80G00NA.PS wurde abgeschnitten, Porträtdatei (P) P80G00NA.PS wurde benutzt:.....

Teil 3

XG800-5

### Unterscheidbarkeit von 16stufigen Farbreihen (Ja/Nein-Entscheidung)

Layout-Beispiel der drei 16stufigen Farbreihen



Es gibt drei Grundfarben auf jeder Seite:  
Schwarz N, Weiß W und Bunt X.  
Zehn Seiten enthalten 10 Bunttonebenen  
X = OYLCVM und RJGB.  
Es gibt maximal 45 unterscheidbare Stufen.

Alle Stufen der drei Serien N-W, W-X und X-N sollen unterscheidbar sein auf allen Seiten

**Sind die drei 16stufigen Reihen auf allen Seiten unterscheidbar? unterstreiche: Ja/Nein**

Nur im Fall von Nein: Sind die drei 16stufigen Reihen auf Seite x von 10 Seiten unterscheidbar?

- Unterstreiche Ja/Nein und gib im Fall von Nein die Anzahl unterscheidbarer Stufen an
- Seite 1: Ja/Nein, wenn Nein ../45 Stufendifferenzen sind unterscheidbar von O = Orangerot
  - Seite 2: Ja/Nein, wenn Nein ../45 Stufendifferenzen sind unterscheidbar von Y = Gelb
  - Seite 3: Ja/Nein, wenn Nein ../45 Stufendifferenzen sind unterscheidbar von L = Laubgrün
  - Seite 4: Ja/Nein, wenn Nein ../45 Stufendifferenzen sind unterscheidbar von C = Cyanblau
  - Seite 5: Ja/Nein, wenn Nein ../45 Stufendifferenzen sind unterscheidbar von V = Violettblau
  - Seite 6: Ja/Nein, wenn Nein ../45 Stufendifferenzen sind unterscheidbar von M = Magentarot
  - Seite 7: Ja/Nein, wenn Nein ../45 Stufendifferenzen sind unterscheidbar von R = Elementarrot
  - Seite 8: Ja/Nein, wenn Nein ../45 Stufendifferenzen sind unterscheidbar von J = Elementargelb
  - Seite 9: Ja/Nein, wenn Nein ../45 Stufendifferenzen sind unterscheidbar von G = Elementargrün
  - Seite 10: Ja/Nein, wenn Nein ../45 Stufendifferenzen sind unterscheidbar von B = Elementarblau

Summe: ../10 Ja-Seiten und ../450 Stufendifferenzen unterscheidbar

Teil 2

XG801-3

### Dokumentation der Beurteiler-Farbseheigenschaften für diese Prüfung:

Der Beurteiler hat normales Farbsehen nach einer Prüfung:  
entweder nach DIN 6160 mit Anomaloskop nach *Nagel* **unterstreiche Ja/Nein**  
oder mit Farbpunkt-Prüftafeln nach *Ishihara* **unterstreiche Ja/Nein**  
oder mit, bitte nennen:..... **unterstreiche Ja/Nein**

#### Nur für Display(Monitor, Daten-Projektor)-Ausgabe:

Büro-Arbeitsplatz-Beleuchtung ist Tageslicht (bedeckter/Nordhimmel) **unterstreiche Ja/Nein**  
PDF-Dateiausgabe mit [www.ps.bam.de/XG75/10L/L75G00NP.PDF](http://www.ps.bam.de/XG75/10L/L75G00NP.PDF) **unterstreiche Ja/Nein**  
Vergleich des Kontrastbereichs der 16 Stufen F bis 0 mit Prüfvorlage Nr. 3 von DIN 33866-1  
Nenne Kontrastbereich: (>F:0) (F:0) (E:0) (D:0) (C:0) (A:0) (9:0) (7:0) (5:0) (<3:0)

Anmerkung: Bei Tageslichtbürobeleuchtung ist der Kontrastbereich oft:  
auf Papier zwischen: >F:0 (Hochglanz), F:0 (Seidenglanz) und E:0 (Matt)  
am Display zwischen: >F:0 und E:0 (Monitor), D:0 und 3:0 (Datenprojektor)

#### Nur für optionale farbmessende Kennzeichnung mit PDF/PS-Dateiausgabe

**PDF-Datei:** entweder [www.ps.bam.de/XG27/10L/L27G00NP.PDF](http://www.ps.bam.de/XG27/10L/L27G00NP.PDF) **unterstreiche Ja/Nein**  
oder [www.ps.bam.de/XG27/10P/P27G00NP.PDF](http://www.ps.bam.de/XG27/10P/P27G00NP.PDF) **oder unterstreiche Ja/Nein**

**PS-Datei:** entweder [www.ps.bam.de/XG27/10L/L27G00NA.PS](http://www.ps.bam.de/XG27/10L/L27G00NA.PS) **oder unterstreiche Ja/Nein**  
oder [www.ps.bam.de/XG27/10P/P27G00NA.PS](http://www.ps.bam.de/XG27/10P/P27G00NA.PS) **oder unterstreiche Ja/Nein**

#### Farbmessung und Kennzeichnung für:

CIE-Normlichtart D65, CIE-2-Grad-Beobachter, CIE-45/0-Geometrie **unterstreiche Ja/Nein**  
Wenn Nein, bitte andere Parameter nennen: .....

#### Farbmessung und Kennzeichnung mit PS-Datei für Farben der Spalten A bis T

Ersatz der CIELAB-Daten in Datei [www.ps.bam.de/XG30/10L/L30G00NP.PS](http://www.ps.bam.de/XG30/10L/L30G00NP.PS) und Transfer  
der PS-Datei L30G00NP.PS in PDF-Datei L30G00NP.PDF **unterstreiche Ja/Nein**  
Wenn Nein, bitte andere Methode beschreiben: .....

Teil 4

XG801-5